

高速動体形状計測のための ワンショット3次元形状計測法

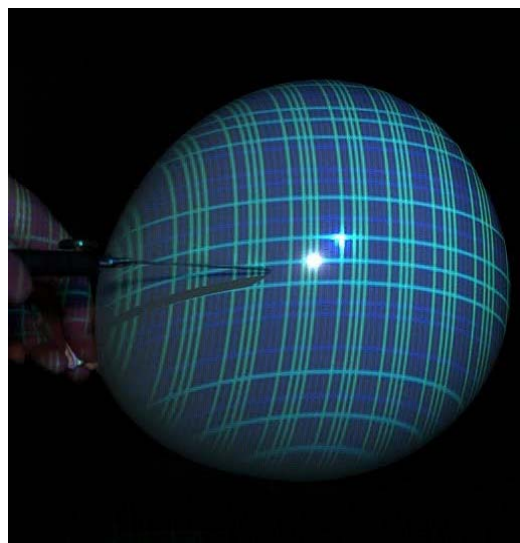
佐川立昌¹, 古川亮², 川崎洋³, 八木康史⁴

¹産総研 ²広島市立大学 ³鹿児島大学 ⁴大阪大学

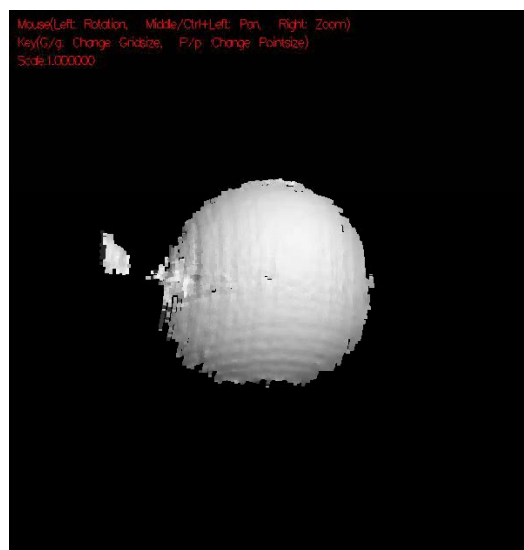
実験結果:例1

□ 風船の破裂

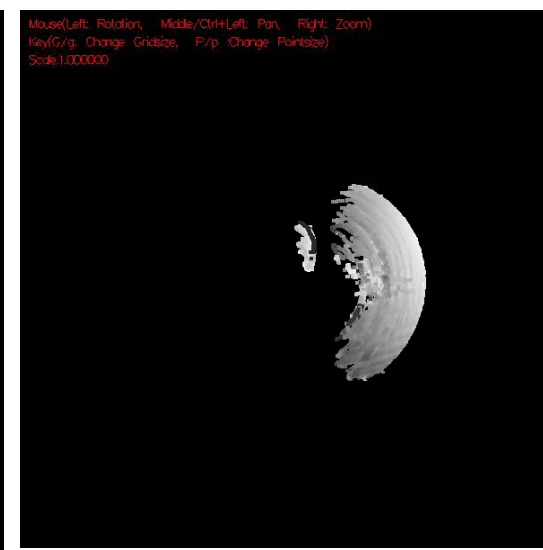
■ 1000fps



撮影シーン



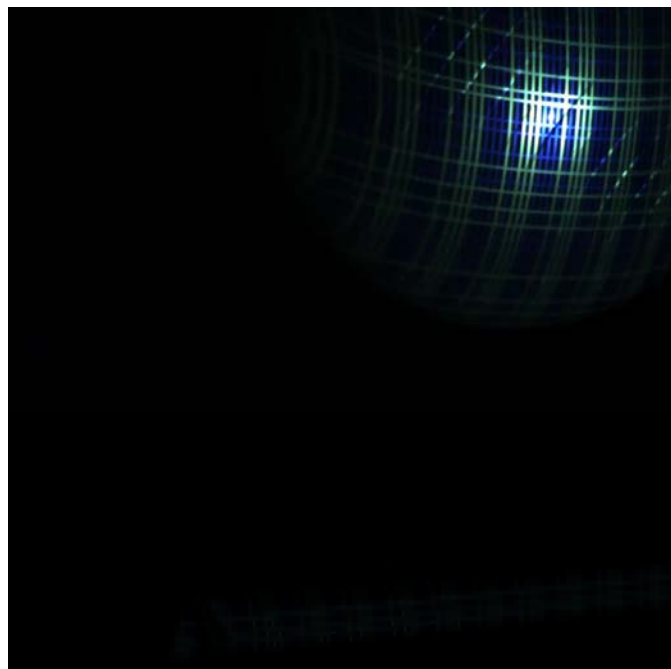
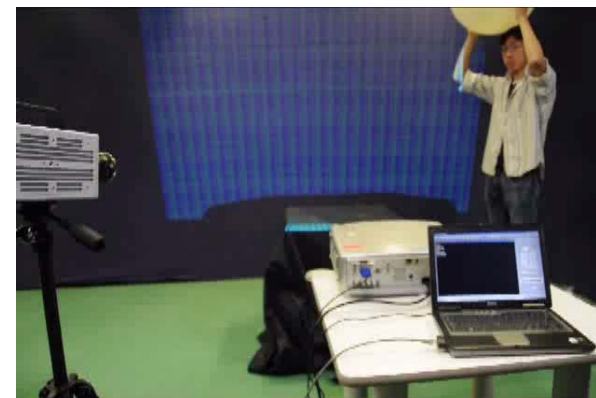
正面視点



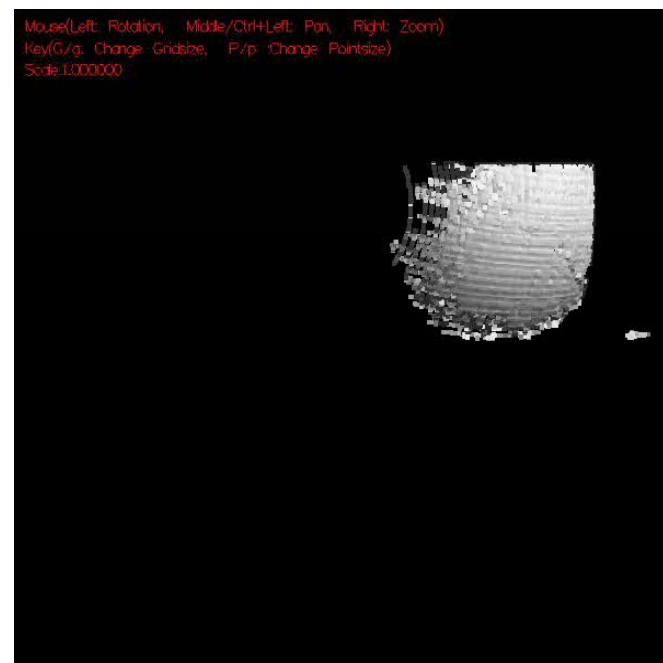
横視点

実験結果：例2

- バランスボールのバウンド
 - 2000fps
 - 表面を伝わる波を観測可能



撮影シーン



復元結果

研究の背景

- 過去の代表的な3次元計測は静止物体
- 運動・変形する物体の3次元形状を獲得したい
 - 応用例
 - 顔の表情のモーションキャプチャ
 - ロボットビジョンのアプリケーション
 - 医療・VR利用
 - 映画・ゲームなど

主な3次元計測手法

□ アクティブ

■ レーザレンジファインダ

- レーザの走査が必要
- 動的シーンに不向き

■ パターンコード化法

- 時間的：複数画像を投影
- 空間的：単画像を投影

□ パッシブ

運動・変形物体の計測に適する

■ ステレオ視

- テクスチャが必要，対応点が不正確

■ 視体積交差法

- カメラ多数必要，凹形状は苦手

■ 精度を上げるのが困難

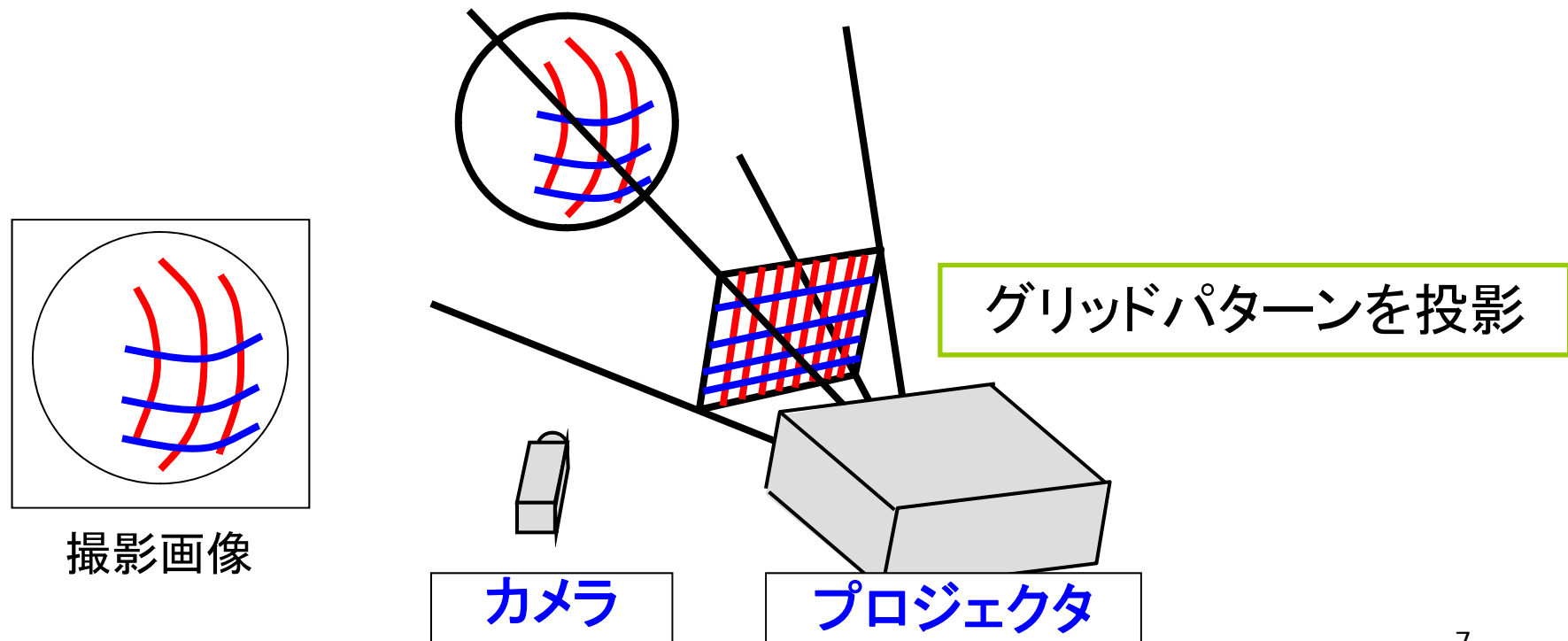
提案手法

- 1カメラ+1プロジェクタ
 - ICCV2009, MIRU2009
- 1カメラ+2プロジェクタ
 - 3DPVT2010, MIRU2010
- マルチカメラ+マルチプロジェクタ
 - 現在進行中

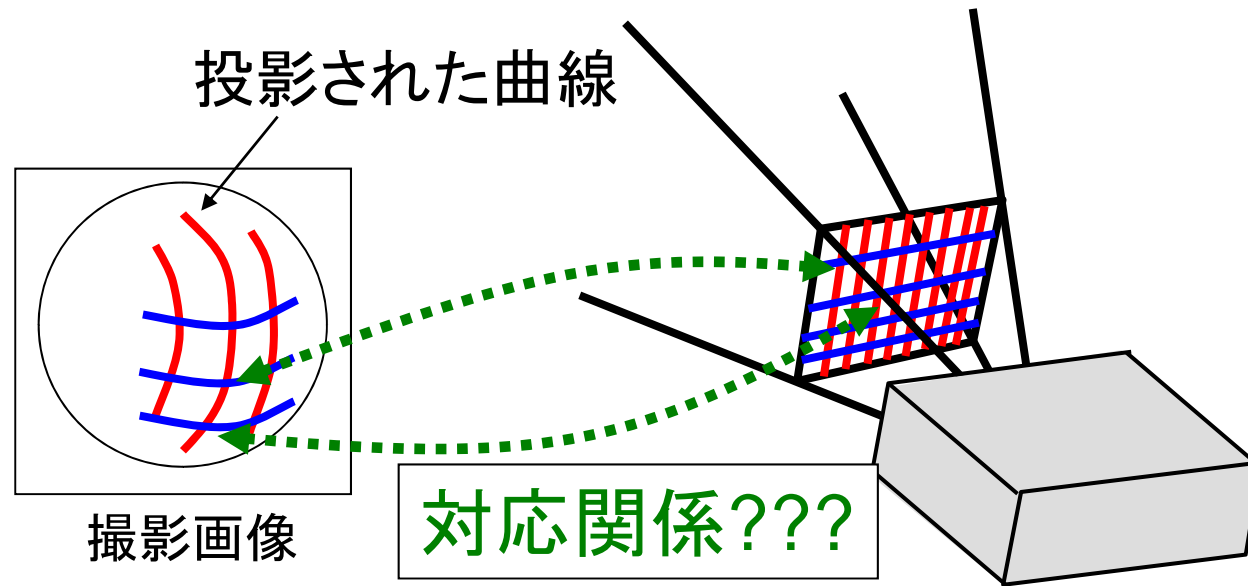
グリッドパターンによるワンショットスキャン

□ Kawasaki et al. (CVPR, 2008)

- 1枚の画像から3次元復元が可能



グリッドパターンによるワンショットスキャン

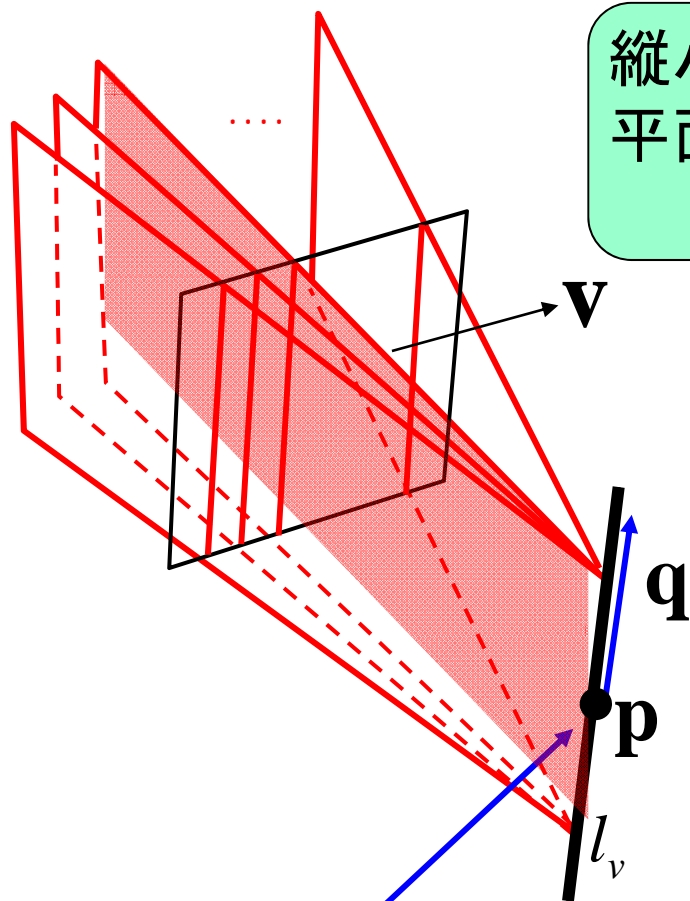


- 共面性による制約条件を用いる

[Kawasaki ACCV '07]

- 曲線上の点と同じ平面内にある

パターン平面の表現(縦平面)



縦プロジェクタの原点

縦パターン平面の係数: ベクトル \mathbf{v}
平面上の点: \mathbf{x}
$$\mathbf{v} \cdot \mathbf{x} + 1 = 0$$

全ての縦平面 \mathbf{v} は直線 l_v を含む

$$\begin{aligned}\mathbf{v} &= \mathbf{v}_0 + \mu (\mathbf{p} \times \mathbf{q}) \\ &= \mathbf{v}_0 + \mu \mathbf{v}_d\end{aligned}$$

\mathbf{p} : 縦プロジェクタの原点座標

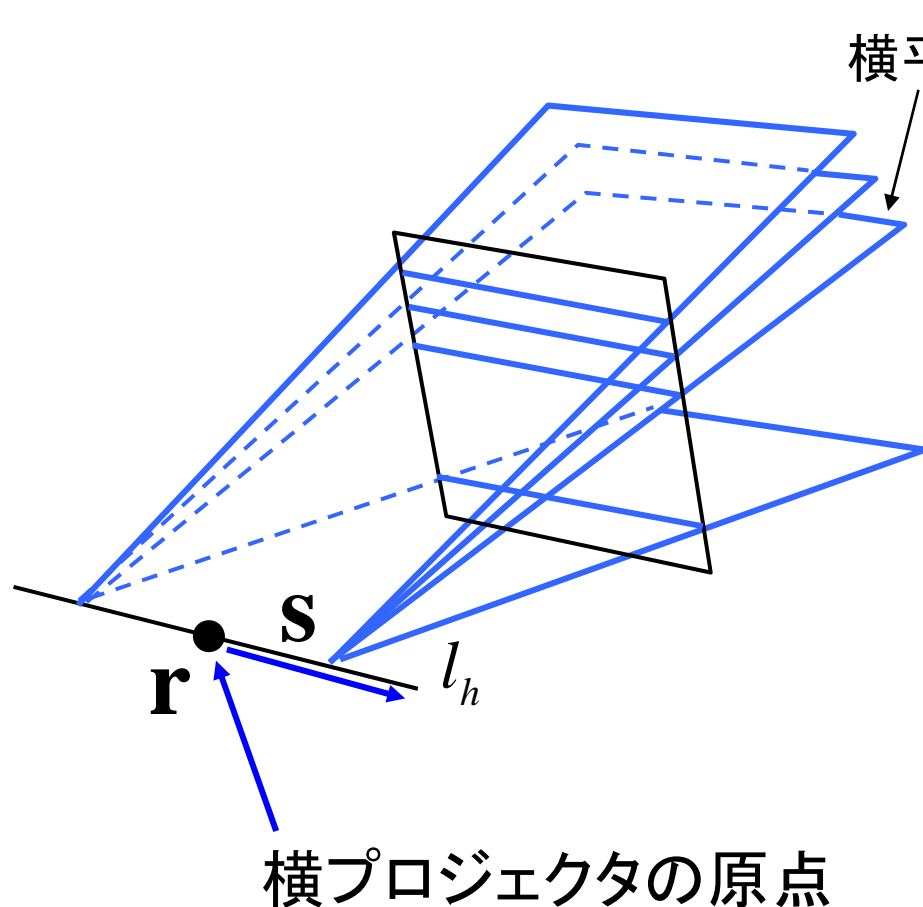
\mathbf{q} : 直線 l_v の向き

\mathbf{v}_0 : l_v を含む任意の平面の係数

μ : 平面の1次元パラメータ

平面 \mathbf{v} は1次元パラメータ μ で表現できる

パターン平面の表現(横平面)



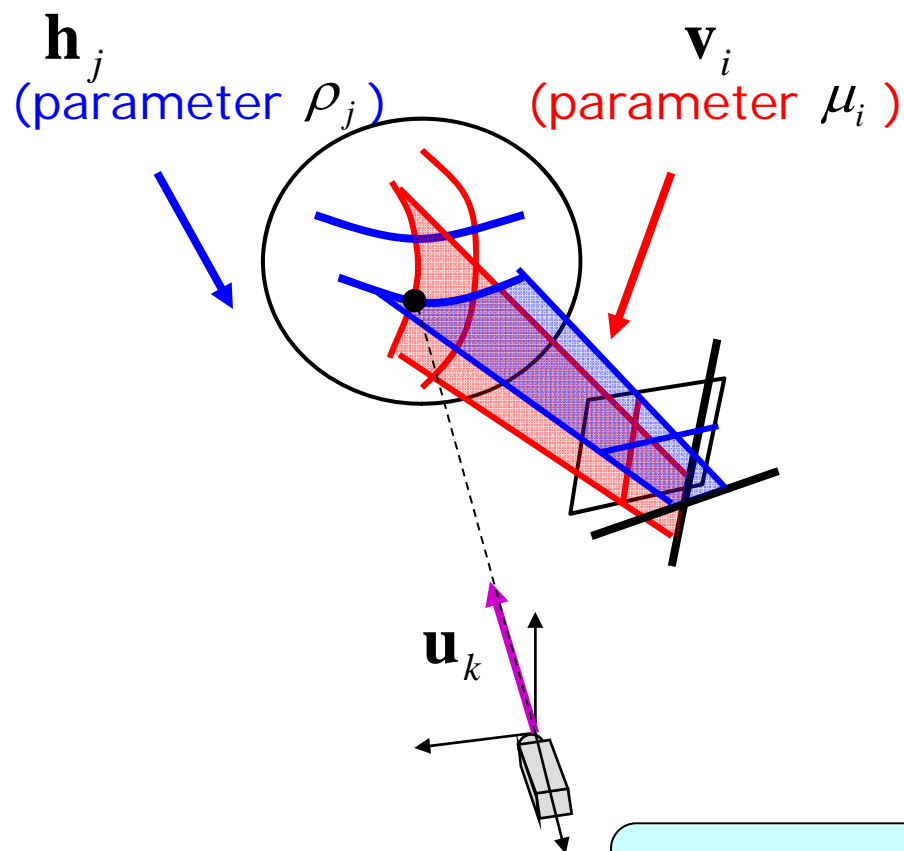
横平面 \mathbf{h} は l_h を含む

$$\mathbf{h} = \mathbf{h}_0 + \rho(\mathbf{r} \times \mathbf{s})$$
$$= \mathbf{h}_0 + \rho \mathbf{h}_d$$

\mathbf{r} : 横プロジェクトの原点座標
 \mathbf{S} : 直線 l_h の向き
 \mathbf{h}_0 : l_h を含む任意の平面の係数
 ρ : 平面の1次元パラメータ

平面 \mathbf{h} は1次元パラメータ ρ で表現できる

交点から得られる拘束条件(共面性拘束)



パターン平面: \mathbf{v}_i \mathbf{h}_j
交点: \mathbf{u}_k

交点は両方の平面上にある

$$\mathbf{u}_k \cdot (\mathbf{v}_i - \mathbf{h}_j) = 0$$

$$A_k \mu_i - B_k \rho_j = C_k$$

$$A_k \equiv \mathbf{u}_k \cdot \mathbf{v}_d$$

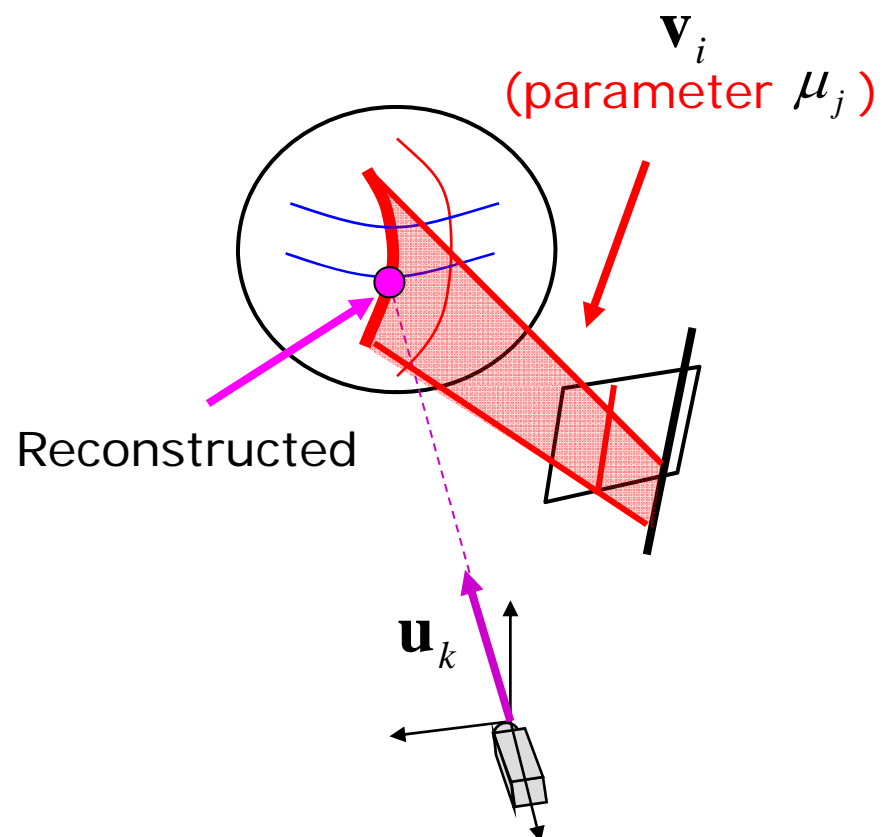
$$B_k \equiv \mathbf{u}_k \cdot \mathbf{h}_d$$

$$C_k \equiv \mathbf{u}_k \cdot (\mathbf{v}_0 - \mathbf{h}_0)$$

μ_i と ρ_j に関する1次方程式

三角測量による形状復元

- 平面パラメータが決定されると, 三角測量により, ライン上の3次元点が計算できる



線検出とパターンの工夫

- Belief-Propagation (BP)に基づいた線検出
 - 1色でも縦横別々に検出可能
 - 高密度パターンでも安定して検出可能
- カラーコードの利用
 - デブルーンイン系列を用いたパターン
 - 縦線、横線にそれぞれにIDを埋め込む
 - 誤接続, 誤対応を減少させ, 安定性向上

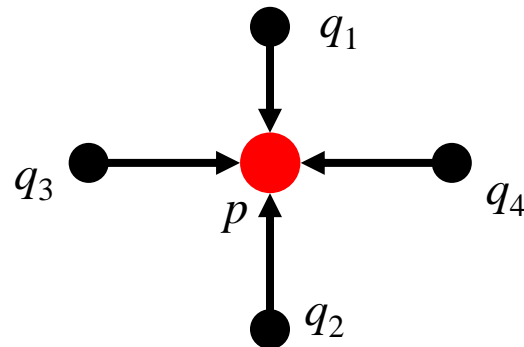
BPの概要

□ グラフのエネルギー最小化問題

$$E(f) = \sum_{p \in V} D_p(f_p) + \sum_{(p,q) \in E} W_{pq}(f_p, f_q)$$

ラベル f_p をノード p に
割り振るときのデータコスト

ノード p, q にラベル f_p, f_q を
割り振るときの不連続コスト



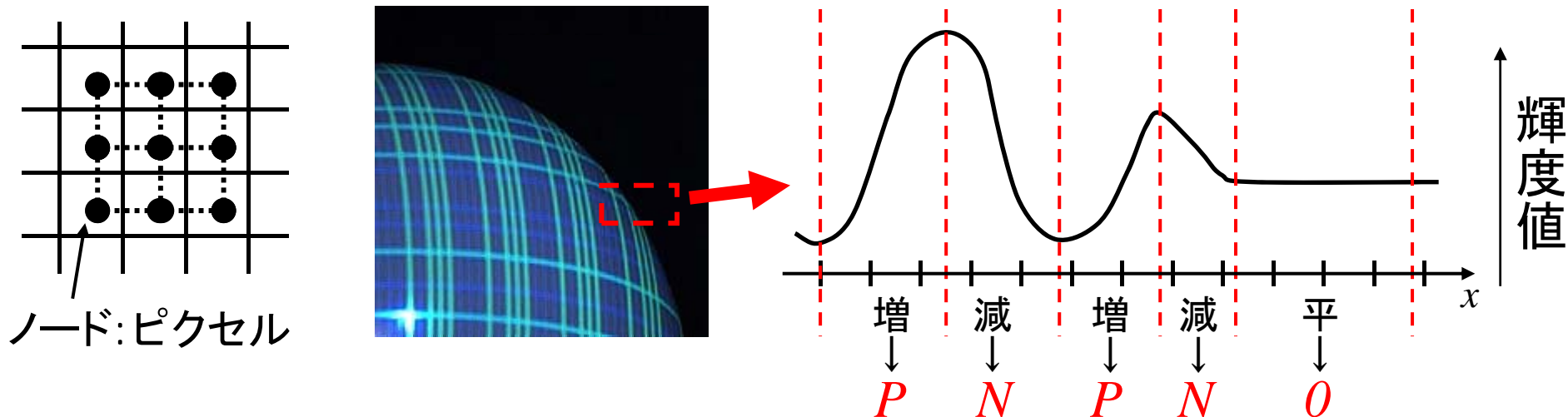
V : ノードの集合
 E : ノード間の
リンクの集合

メッセージパッシングの繰り返し計算によって、
コストが最小となるラベル付けを決定

BPを用いた線検出

□ ラベルの区別

- $P, N, 0$ の3種類



□ データコスト(縦線の場合)

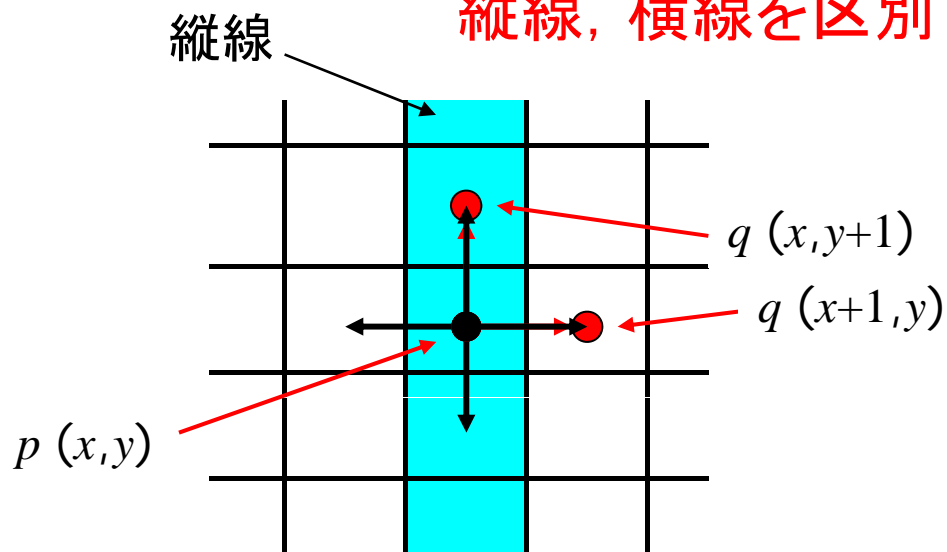
$$D_p(f_p) = \begin{cases} I(x+1, y) - I(x, y) & \text{if } f_p = N \\ |I(x+1, y) - I(x, y)| & \text{if } f_p = 0 \\ -(I(x+1, y) - I(x, y)) & \text{if } f_p = P \end{cases} \quad I : \text{輝度値}$$

BPを用いた線検出

- 不連続コスト(縦線の場合) $f_p = \begin{cases} 2 & \text{ラベルが } P \text{ のとき} \\ 1 & \text{ラベルが } 0 \text{ のとき} \\ 0 & \text{ラベルが } N \text{ のとき} \end{cases}$
- 隣接ピクセルを考慮

$$W_{pq}(f_p, f_q) = \begin{cases} -\lambda(f_q - f_p)(I(x+1, y) - I(x, y)) & \text{X軸方向} \\ |f_q - f_p| & \text{Y軸方向} \end{cases}$$

軸の向きによって式を変えることで
縦線, 横線を区別可能



ラベルが同じときコスト小

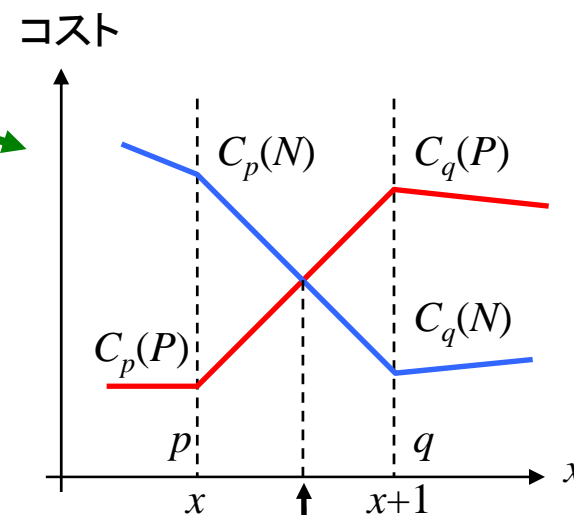
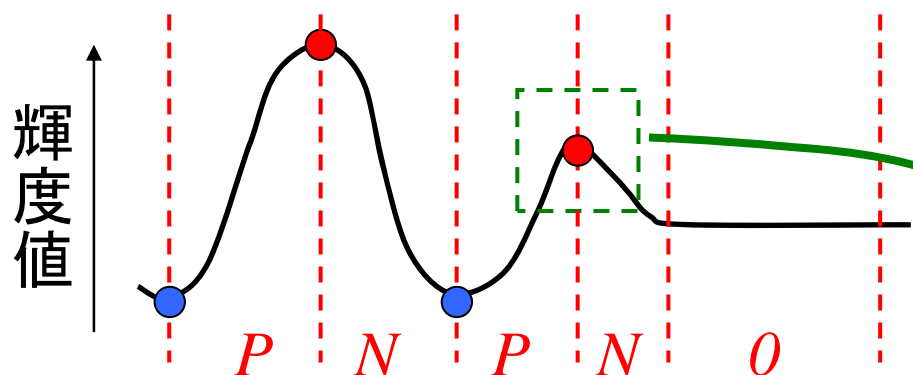
輝度値の変化に応じて
コストを変える

BPを用いた線検出

□ 輝度値のピークを線とみなす

極大：ポジティブピーク
極小：ネガティブピーク

線の数が2倍



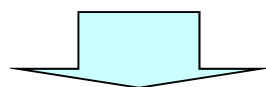
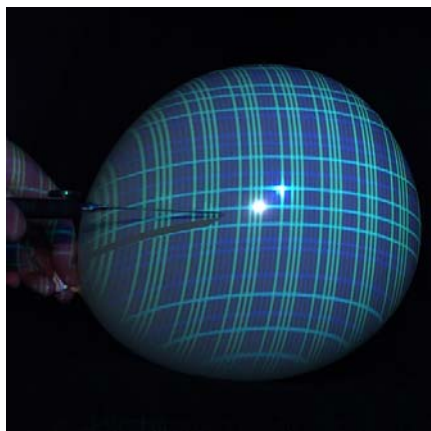
□ サブピクセルの計算

■ コストCを利用した線形補間

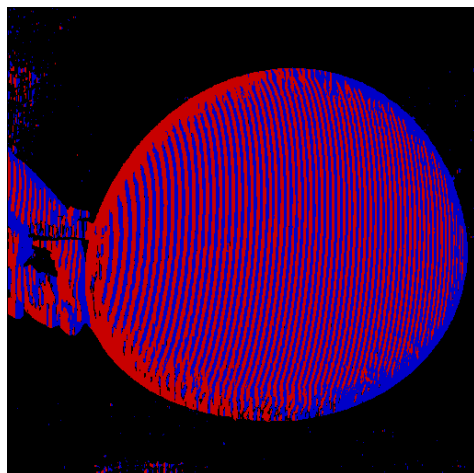
□ コストC = データコスト + 不連続コスト

$$x + \frac{C_p(N) - C_p(P)}{(C_p(N) - C_p(P)) - (C_q(N) - C_q(P))}$$

線抽出の結果

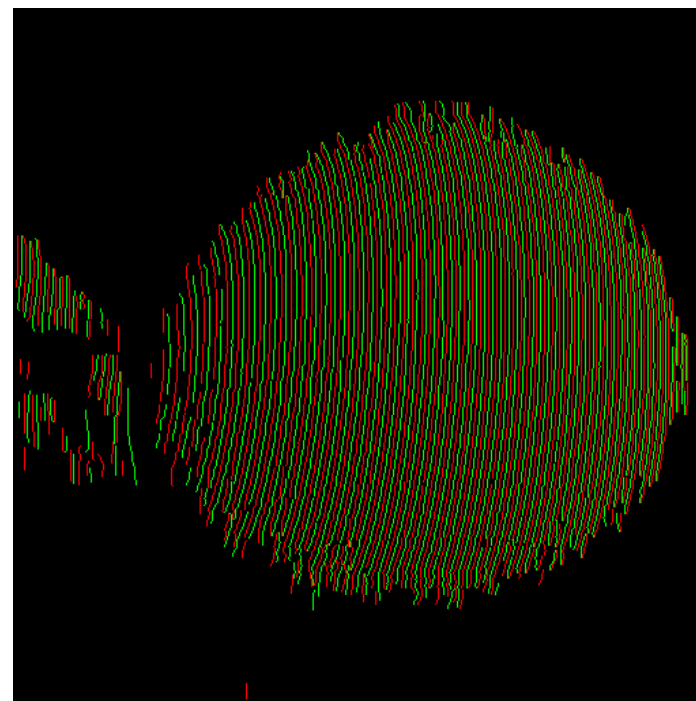
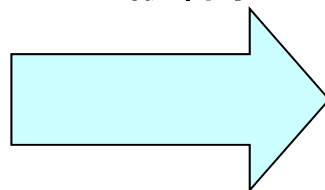


ラベリング 縦線抽出

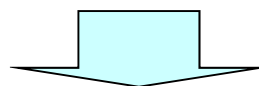
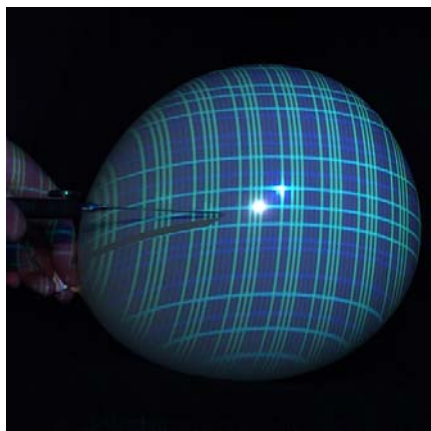


1D ループ目

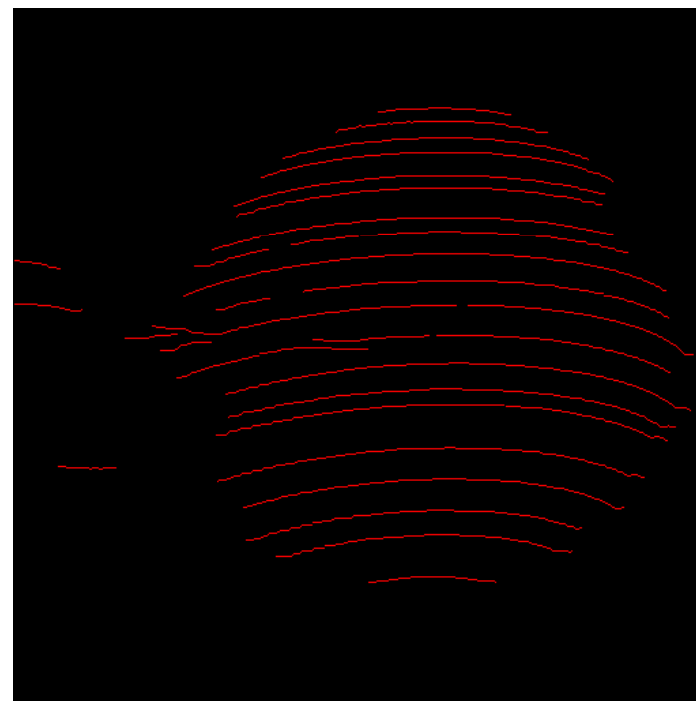
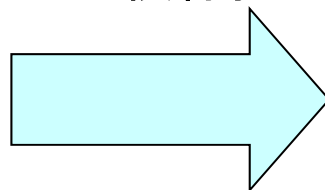
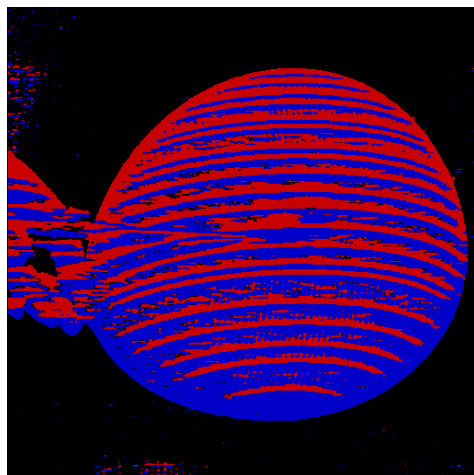
赤 : ラベルP
青 : ラベルN
黒 : ラベル0



線抽出の結果



ラベリング 横線抽出

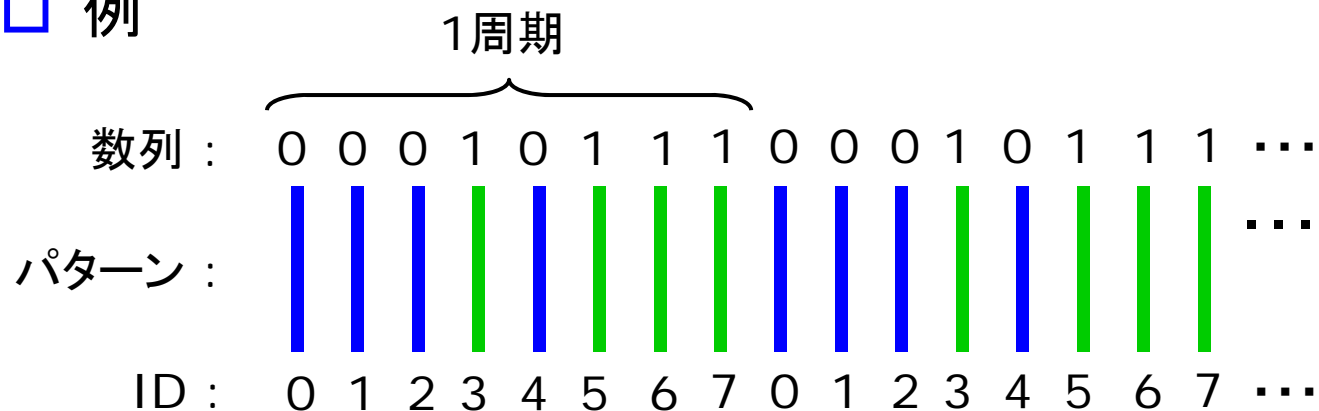


赤 : ラベルP
青 : ラベルN
黒 : ラベル0

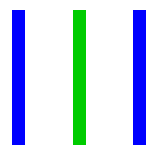
カラーコードの導入

□ デブルーンイン系列

- 長さ n , 記号数 q のとき長さ q^n の数列
- 長さ n の部分数列から位置を一意に特定可能
- 今回は $n=3, q=2$ の長さ8の数列を使用
 - 8本1周期とし, 繰り返す
 - 例

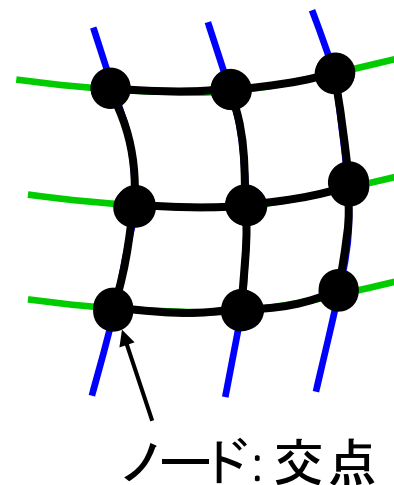


検索パターン :



カラーコードの識別

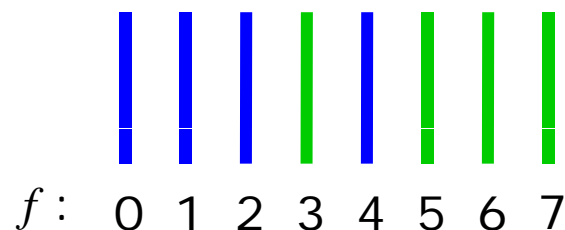
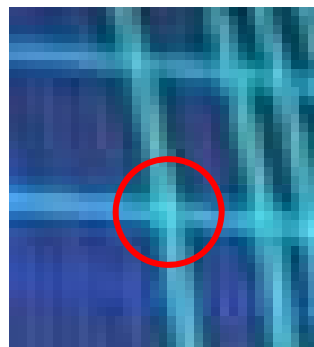
- BPを用いてコードを識別
 - 縦線, 横線の接続から識別
 - ラベル $f : 0 \sim 7$
 - デブルーンイン系列のID
- データコスト



$$D_p(f_p) = |H(p) - H(f_p)|$$

交点 p の色相

投影パターン中でのラベル f_p の線の色相

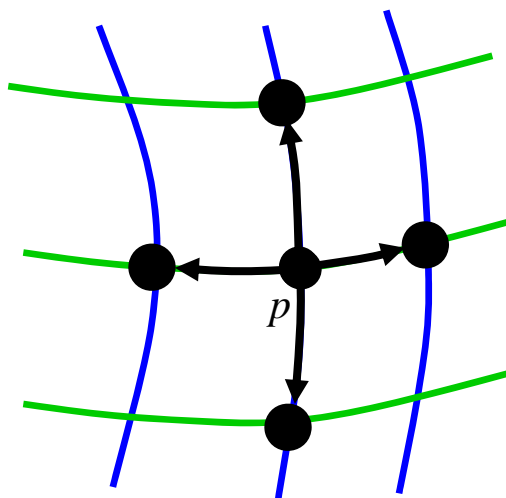


カラーコードの識別 (3/3)

□ 不連続コスト

$$W_{pq}(f_p, f_q) = \min(|(f_p + d(p, q)) \bmod 8 - f_q|, \\ |8 - ((f_p + d(p, q)) \bmod 8 - f_q)|)^2$$

(縦線の場合)



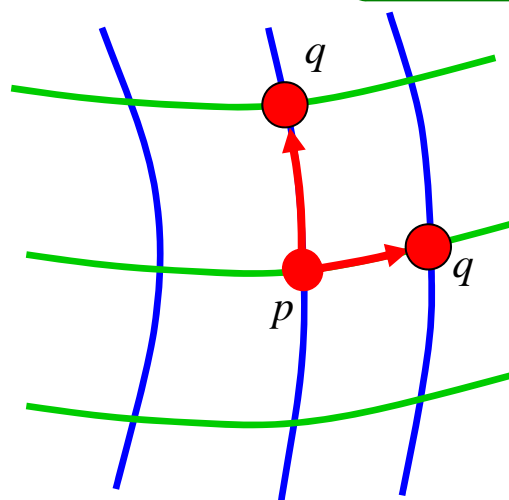
$$d(p, q) = \begin{cases} 1 & q \text{ が } x \text{ 軸方向の隣の線} \\ -1 & q \text{ が } x \text{ 軸方向と逆の隣の線} \\ 0 & \text{その他} \end{cases}$$

カラーコードの識別 (3/3)

□ 不連続コスト

$$W_{pq}(f_p, f_q) = \min(|(f_p + d(p, q)) \bmod 8 - f_q|, \\ |8 - (f_p + d(p, q)) \bmod 8 - f_q|)^2$$

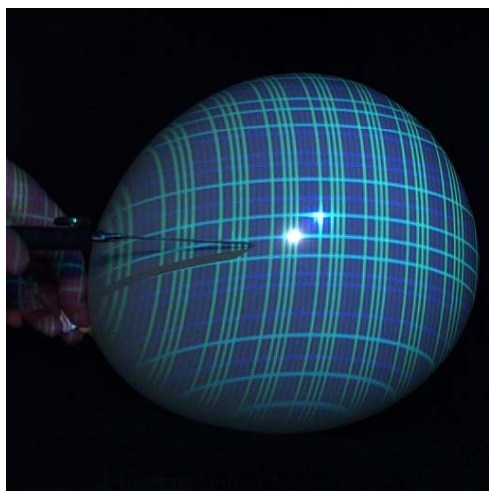
p, q のラベルが同じときコスト小



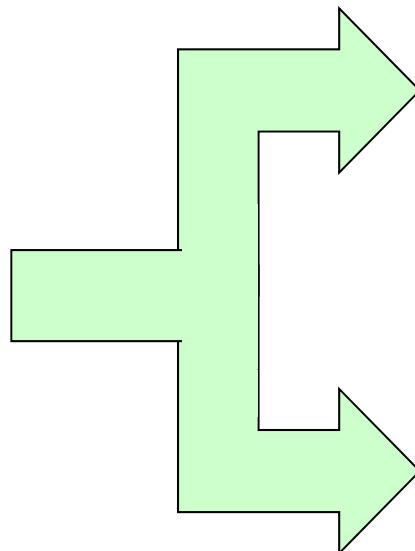
1 q がx軸方向の隣の線

p, q のラベルの差が1のときコスト小

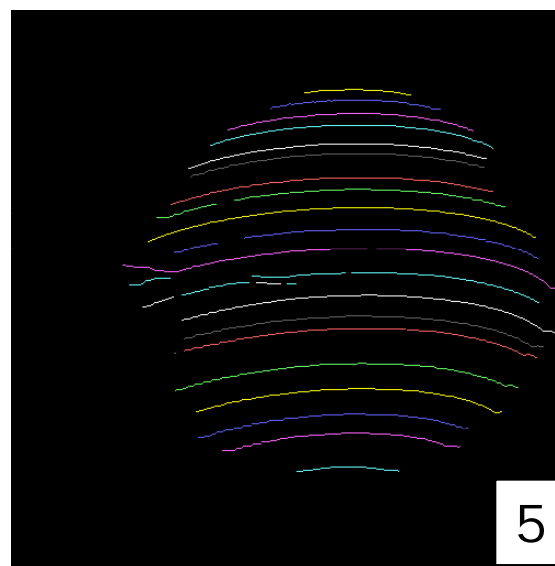
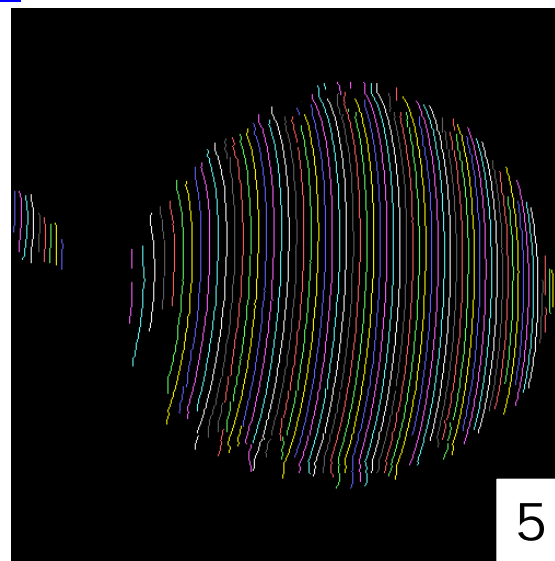
カラーコード識別の結果



縦線

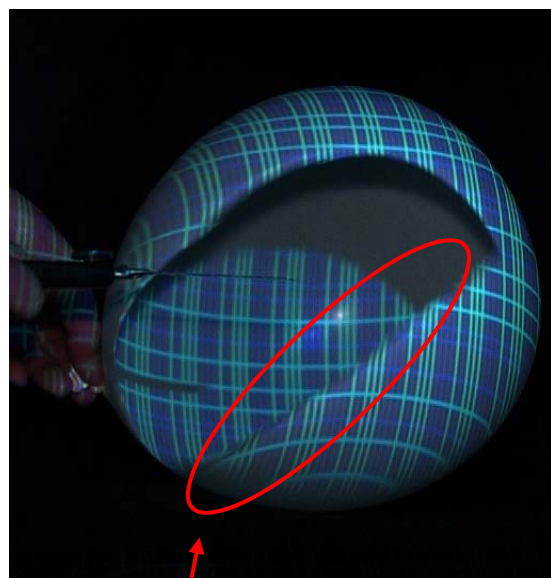


横線



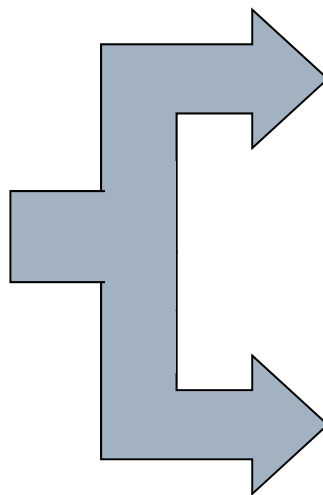
デブルーイン系列による誤接続の解消

□ 線抽出の結果

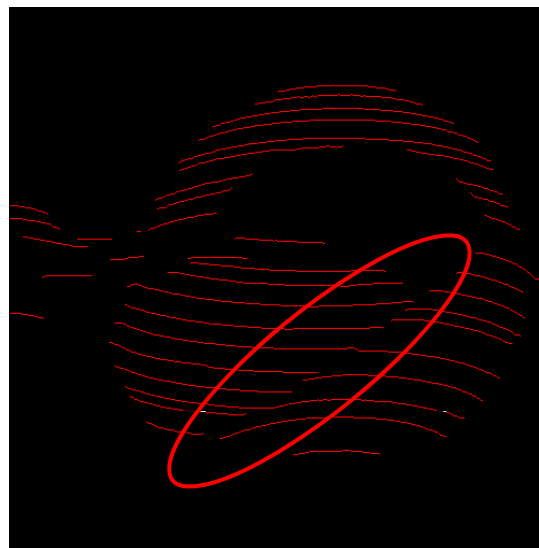
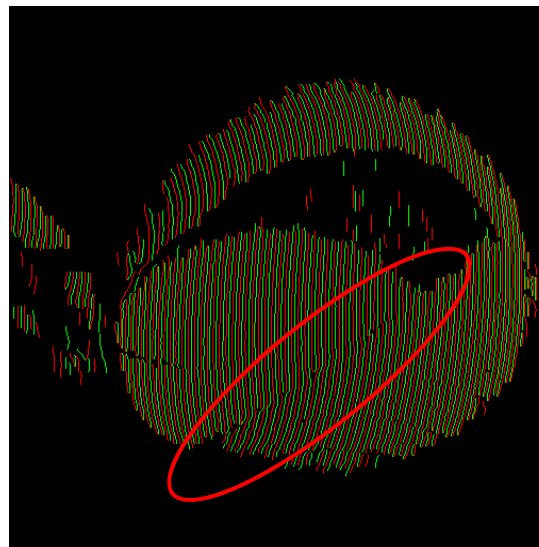


誤接続

縦線



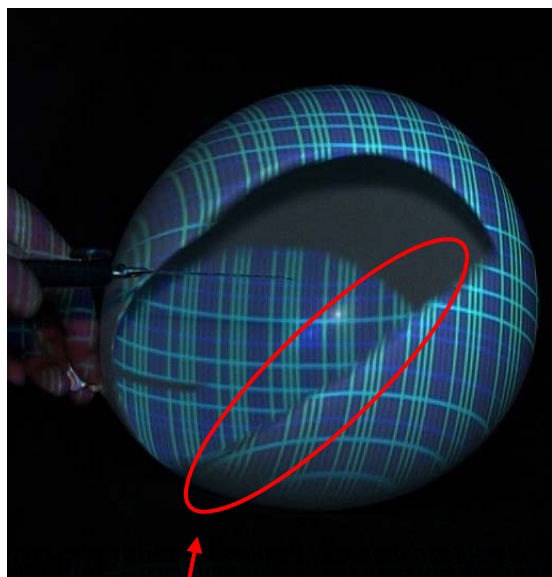
横線



デブルーイン系列による誤接続の解消

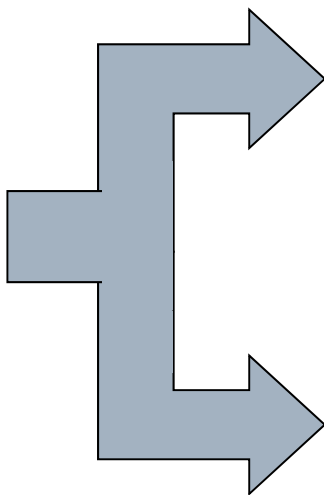
□ カラーコード識別後

■ 異なるIDで切断

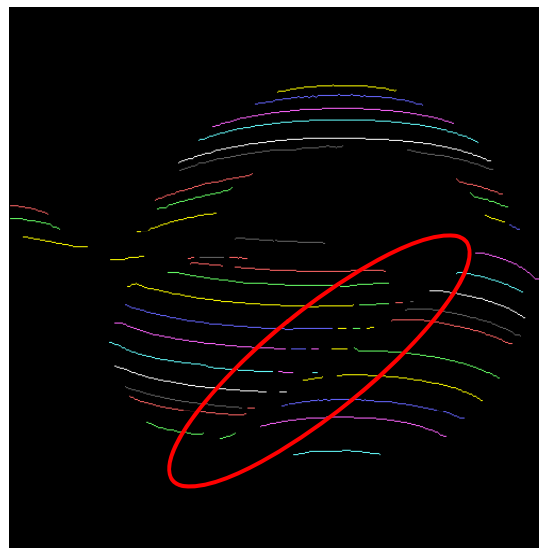
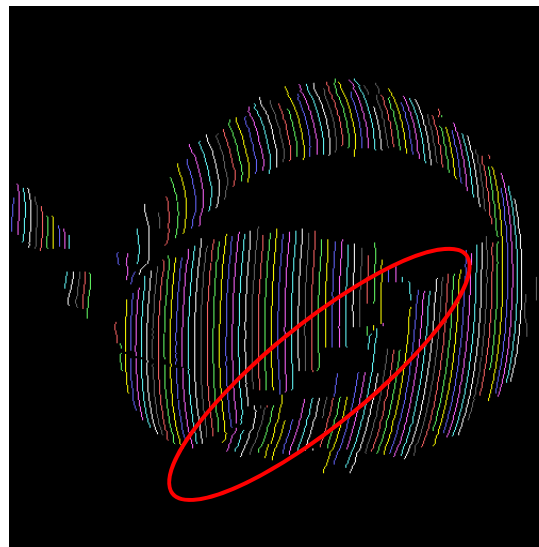


誤接続

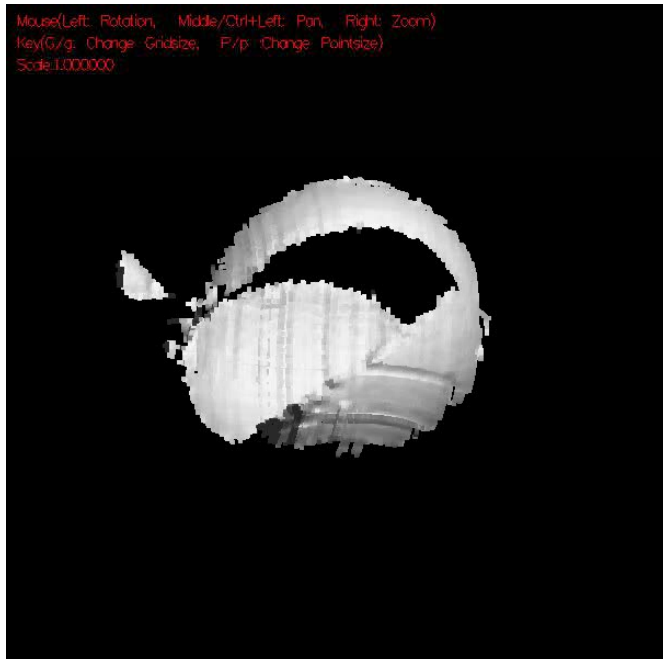
縦線



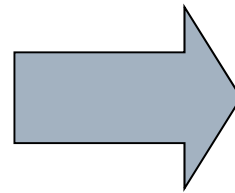
横線



誤接続の解消による復元結果



解消前



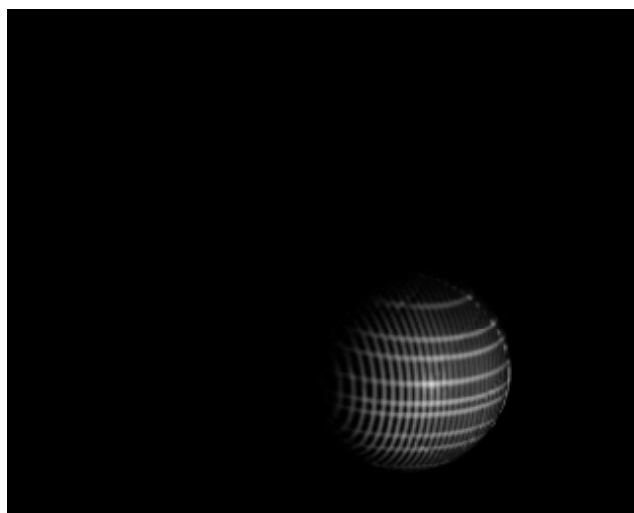
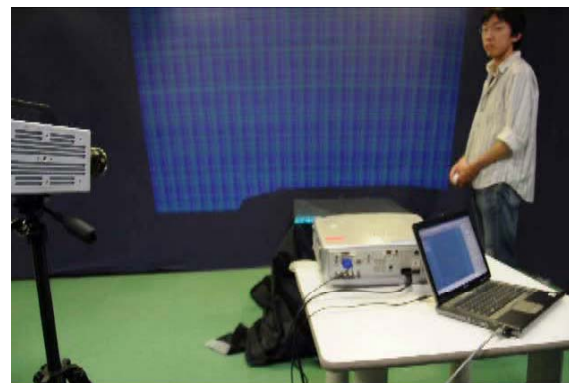
解消後

実験

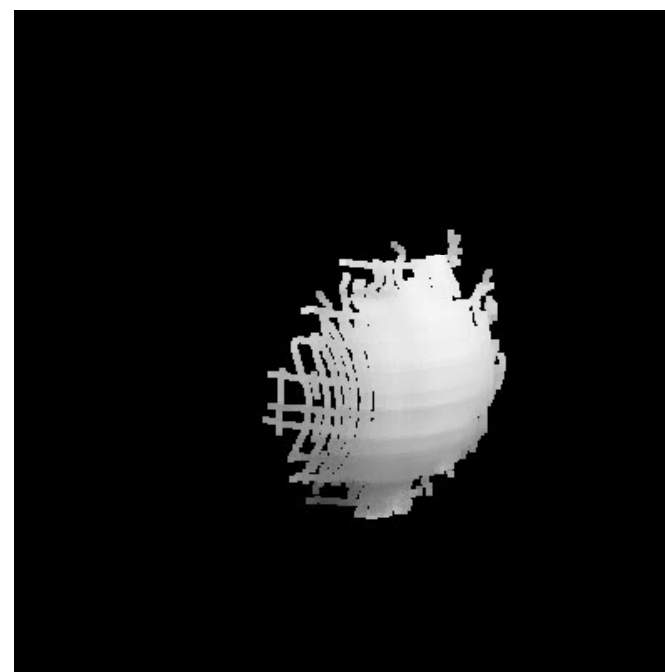
- 形状計測
 - ハイスピードカメラを使用
 - 300~32000fps
 - 撮影シーン
 - 風船の破裂
 - ボールのバウンド
 - 旗を振る

動画を用いた復元結果(3/4)

- ゴムボールのバウンド
 - モノクロカメラで撮影
 - 16000fps



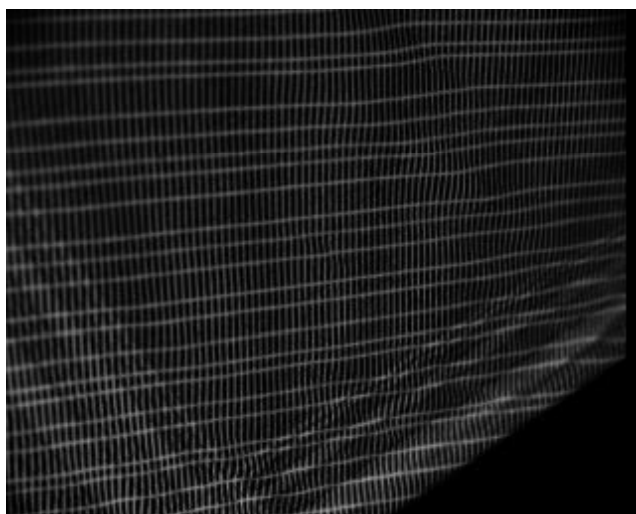
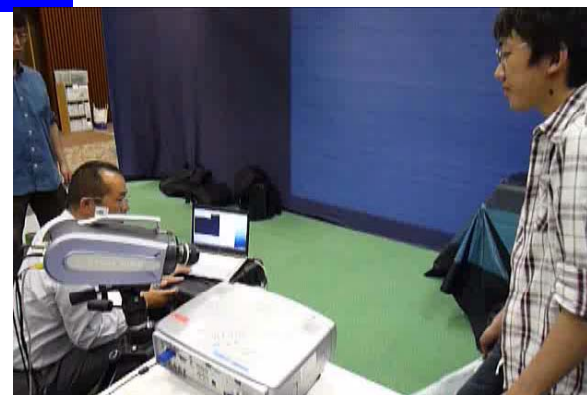
撮影シーン



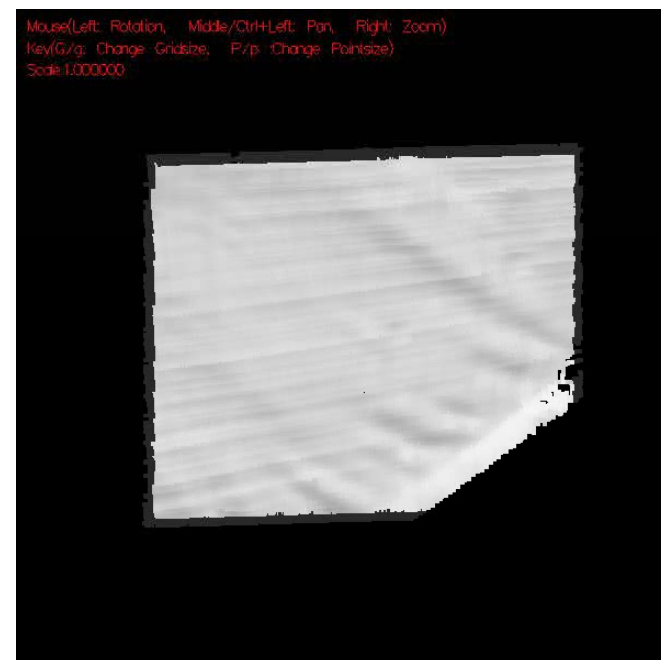
復元結果

動画を用いた復元結果(4/4)

- 旗を振る
 - 16000fps



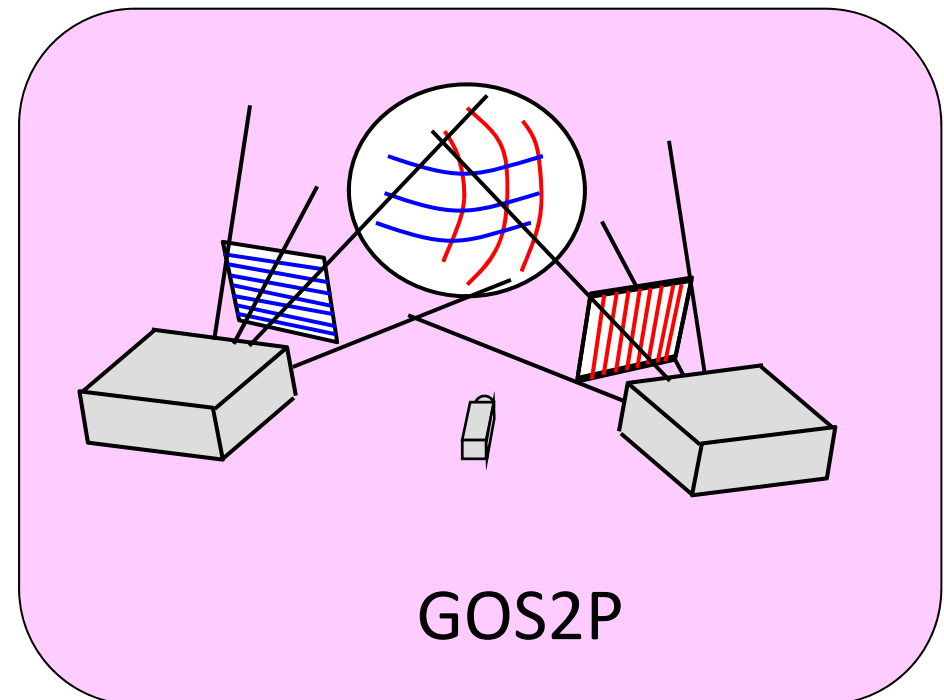
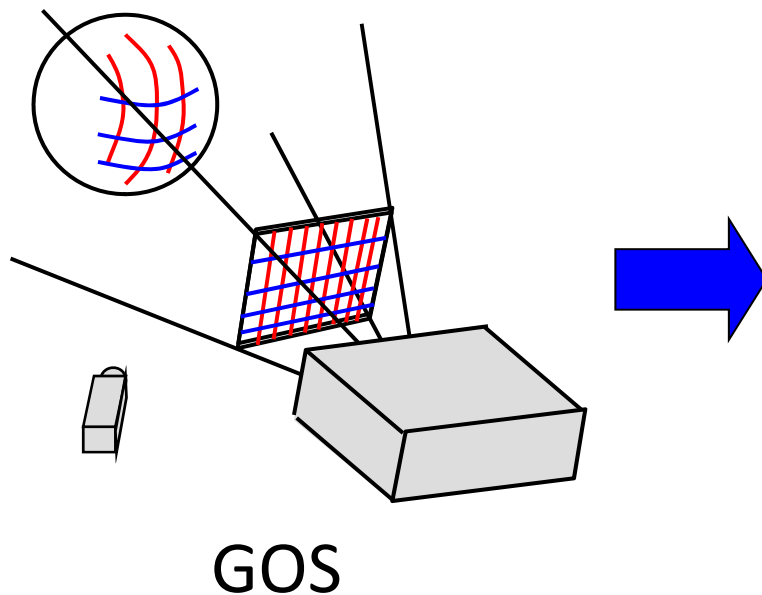
撮影シーン



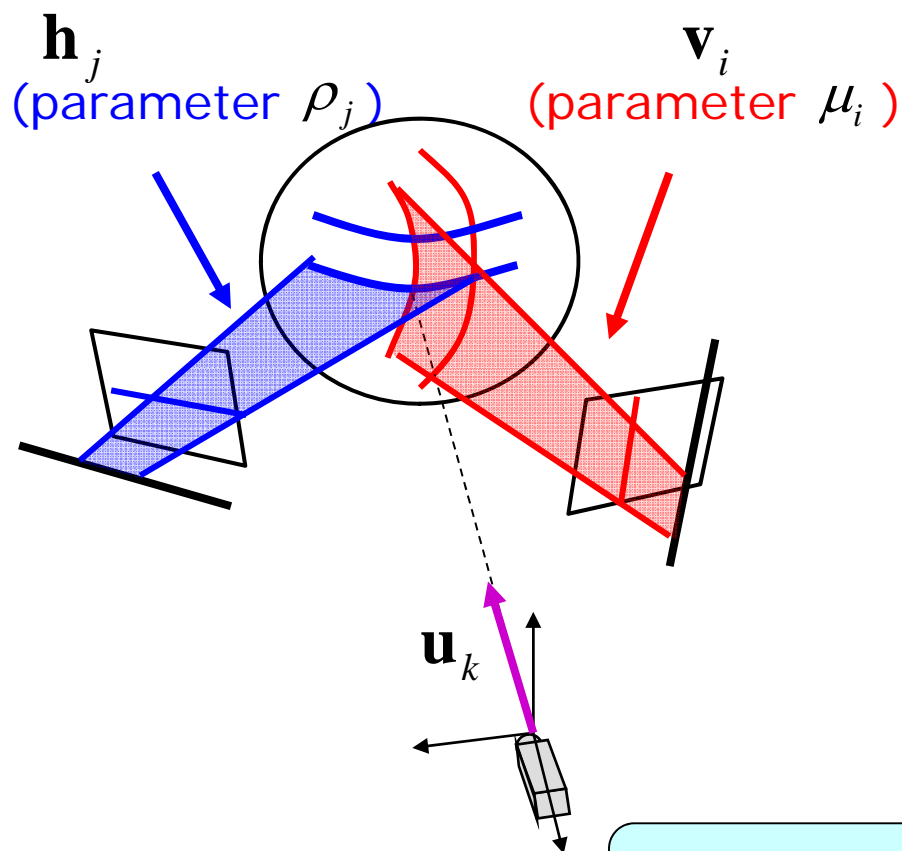
復元結果

第2のアプローチ

- 1カメラ+1プロジェクタを一般化
 - 縦線・横線パターンを分離し, 別のプロジェクタから投影
- 2プロジェクタ グリッドベースワンショット形状計測法
Grid-based Oneshot Scan using 2 Projectors
(GOS2P)



交点から得られる拘束条件(共面性拘束)



パターン平面: \mathbf{v}_i \mathbf{h}_j
交点: \mathbf{u}_k

交点は両方の平面上にある

$$\mathbf{u}_k \cdot (\mathbf{v}_i - \mathbf{h}_j) = 0$$

$$A_k \mu_i - B_k \rho_j = C_k$$

$$A_k \equiv \mathbf{u}_k \cdot \mathbf{v}_d$$

$$B_k \equiv \mathbf{u}_k \cdot \mathbf{h}_d$$

$$C_k \equiv \mathbf{u}_k \cdot (\mathbf{v}_0 - \mathbf{h}_0)$$

μ_i と ρ_j に関する1次方程式

GOS(1プロジェクト) VS GOS2P(2プロジェクト)

GOSの場合

$$\mathbf{h}_j = \mathbf{h}_0 + \mu_i \mathbf{h}_d$$

$$\mathbf{v}_i = \mathbf{v}_0 + \mu_i \mathbf{v}_d$$

平面が共通

$$\mathbf{w} = \mathbf{v}_0 = \mathbf{h}_0$$

$$A_k \mu_i - B_k \rho_j = C_k$$

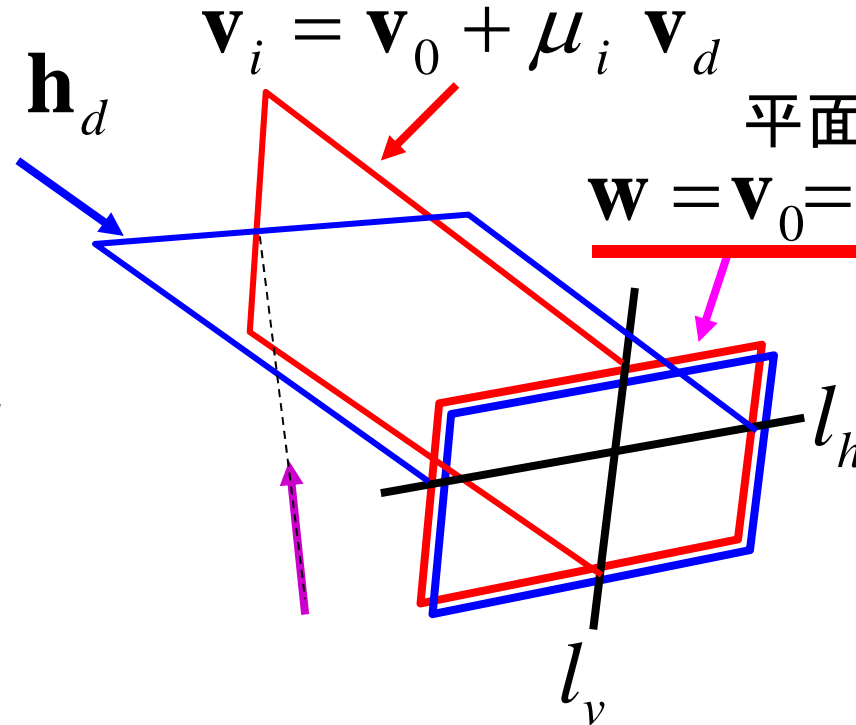
$$A_k \equiv \mathbf{u}_k \cdot \mathbf{v}_d \quad B_k \equiv \mathbf{u}_k \cdot \mathbf{h}_d$$

$$C_k \equiv \mathbf{u}_k \cdot (\mathbf{v}_0 - \mathbf{h}_0) = 0$$

常にゼロ

$$\mathbf{M} \mathbf{g} = \mathbf{0}$$

\mathbf{g} にはスケーリングの曖昧性が残る

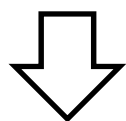


GOS2P(2プロジェクト)の場合:

l_h と l_v を「ねじれの位置」に置く→縮退を回避

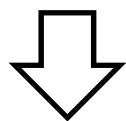
パラメータ推定のための線形解法

$$A_k \mu_i - B_k \rho_j = C_k$$

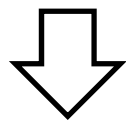


$$\mathbf{M} \mathbf{g} = \mathbf{c}$$

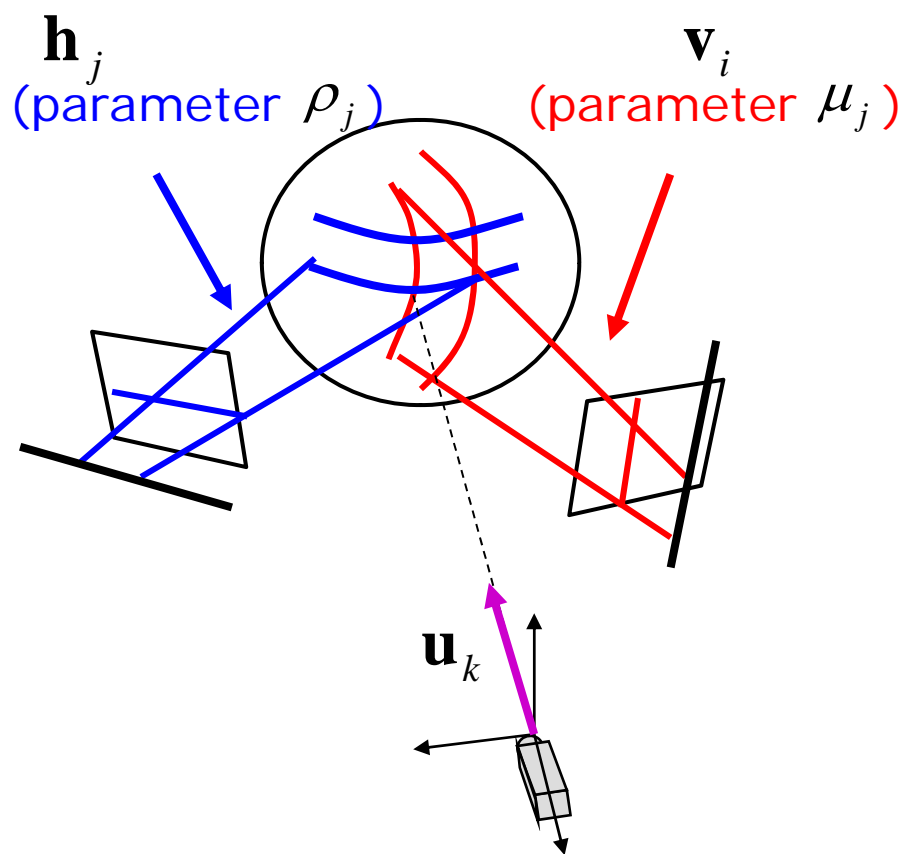
$$\mathbf{g} \equiv [\mu_1 \mu_2 \cdots \rho_1 \rho_2 \cdots]^T$$



\mathbf{c} は非零の定数



唯一解が存在

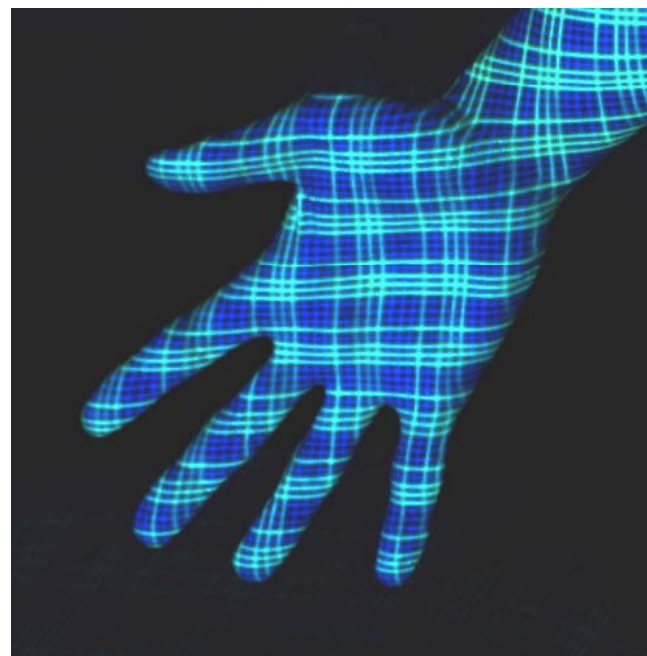


GOS2Pの利点: 細い観測対象の復元

□ GOSとGOS2Pをもちいた手の形状復元



GOS



GOS2P

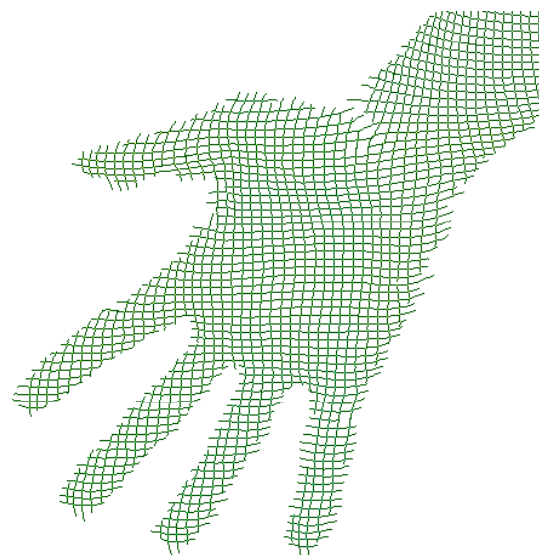
入力画像

GOS2Pの利点: 細い観測対象の復元

□ 線検出結果



GOS

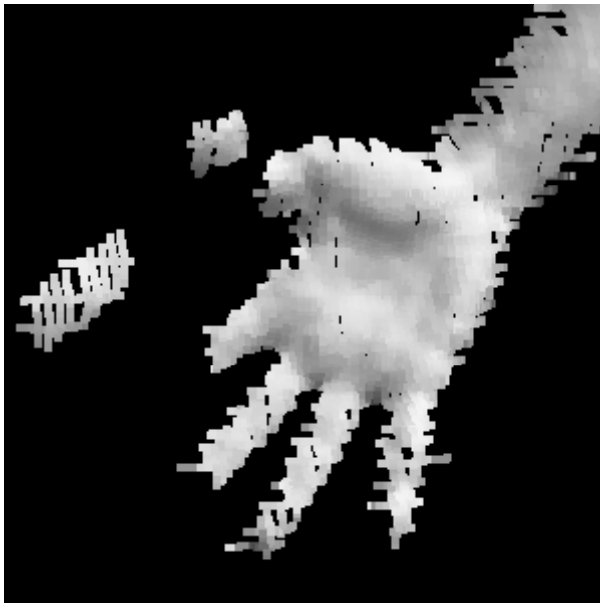


GOS2P

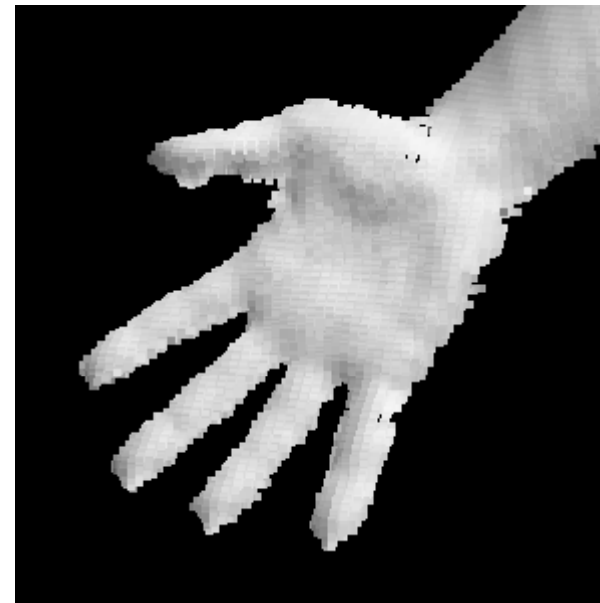
GOS2Pの利点: 細い観測対象の復元

□ 形状復元結果

- 高密度パターンの投影により, 復元結果を改善



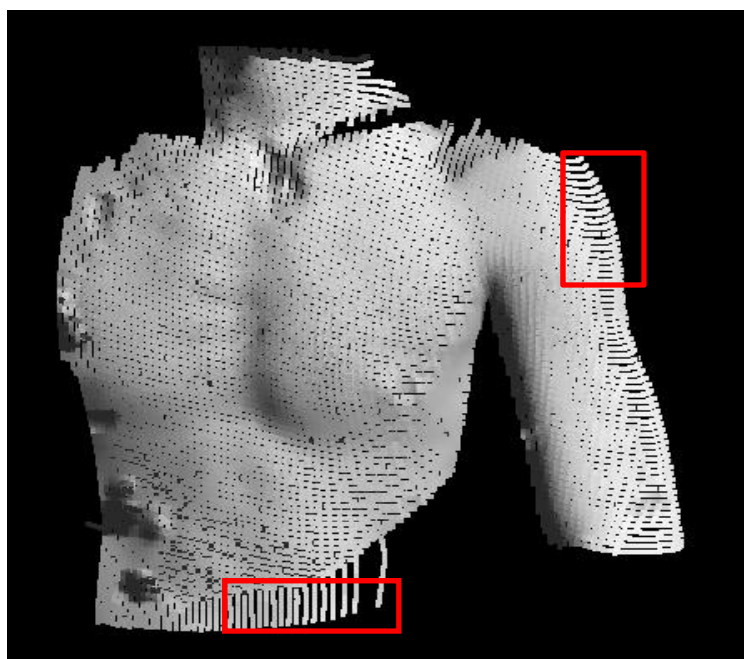
GOS



GOS2P

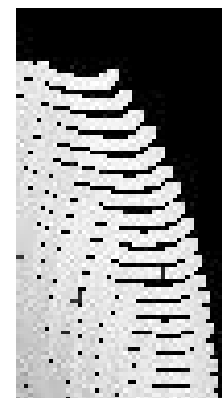
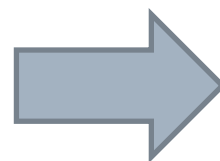
GOS2Pの利点: オクルージョン領域の削減

片方のプロジェクタのみに照明されている領域の形状復元も可能

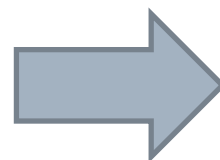


GOS2Pによる結果

ズーム

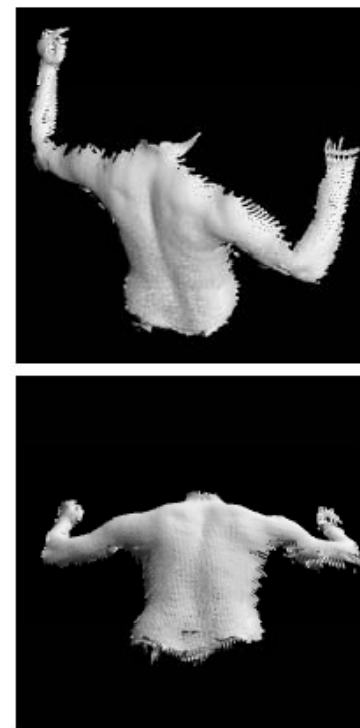
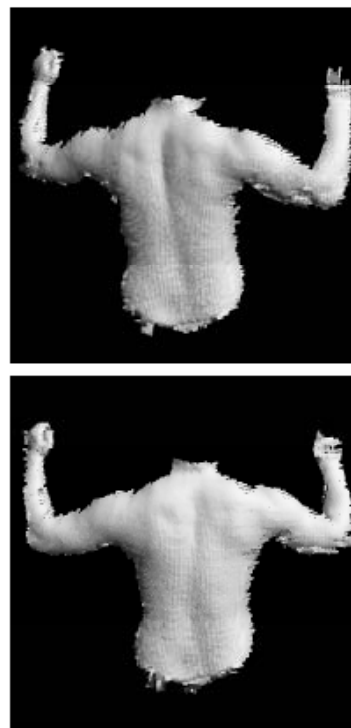
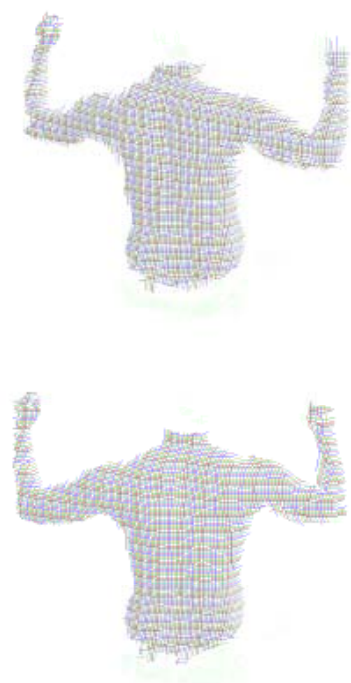
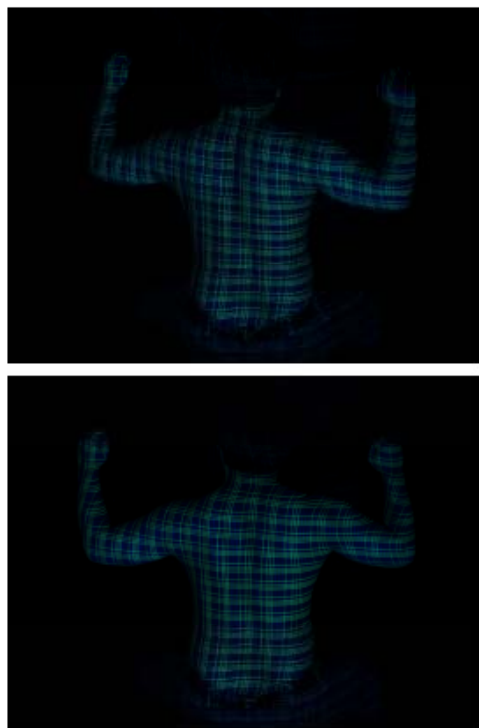


ズーム



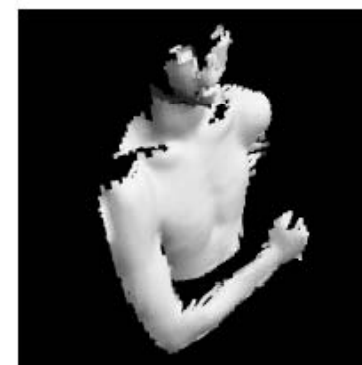
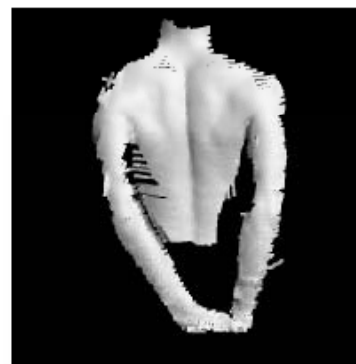
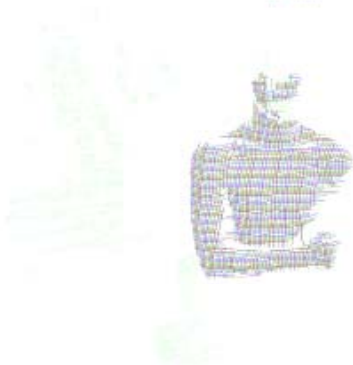
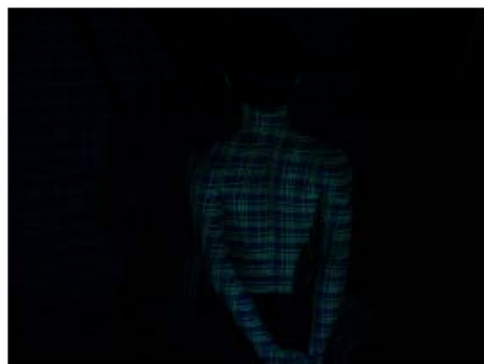
実験例 1

Subject 1



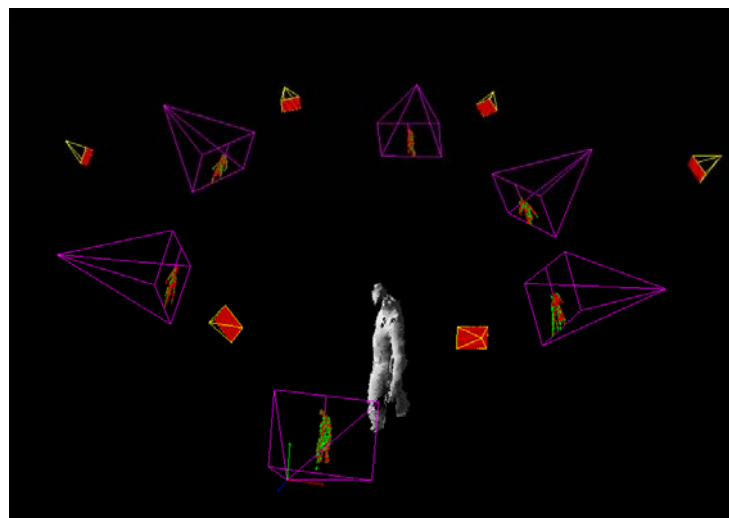
実験例2

Subject 2

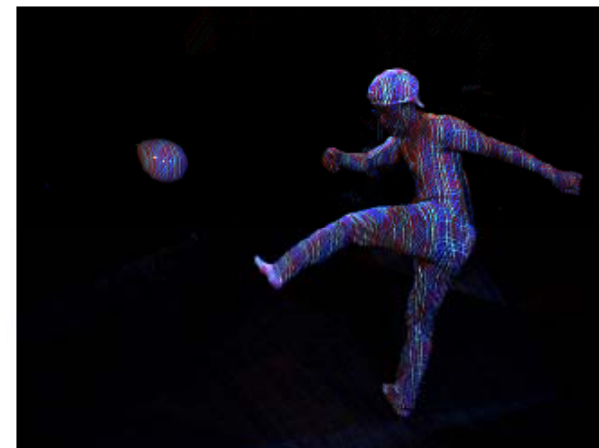


第3のアプローチ

- マルチカメラ+マルチプロジェクタ
 - 2プロジェクタ版の拡張
 - 異なるカメラ+プロジェクタの組み合わせでグリッドを作る
- 全周計測が可能
 - 6カメラ+6プロジェクタ



実験例 1



実験例2



まとめ

- 密な3次元形状を復元するワンショットスキャン
 - 1カメラ+1プロジェクタ
 - 1カメラ+2プロジェクタ
 - マルチカメラ+マルチプロジェクタ
- 高速な動体の復元が可能
 - 300~32000 fps
 - 風船の破裂
 - ボールのバウンド
 - 人体形状